

단 신

N-Cyanoethylazacrown의 합성과 그의 전이 금속 착물 형성 상수

金昌錫* · 金東洵[†] · 鄭龍淳[†] · 崔璣泳^{††} · 洪春杓[‡]

충북대학교 사범대학 화학교육학부

[†]충북대학교 자연과학대학 화학과

^{††}공주대학교 자연과학대학 문화재보존과학과

[‡]공주대학교 사범대학 화학교육과

(2000. 3. 29 접수)

Synthesis of N-Cyanoethylazacrown and Its Formation Constants of Transition Metal Complexes

Chang Suk Kim*, Dong Won Kim[†], Yong Soon Chung[†], Ki Young Choi^{††}, and Choon Pyo Hong[‡]

School of Science Education, Chungbuk National University, Cheongju 361-763, Korea

[†]Department of Chemistry, Chungbuk National University, Cheongju 361-763, Korea

^{††}Department of Conservation Science for Cultural Heritage, Kongju National University, Kongju 314-701, Korea

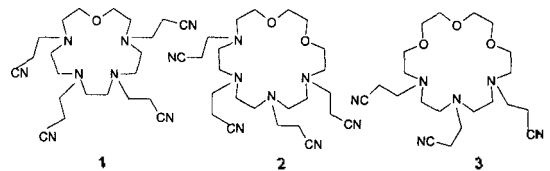
[‡]Department of Chemical Education, Kongju National University, Kongju 314-701, Korea

(Received March 29, 2000)

Macrocyclic crown 화합물은 알카리 및 알카리토 금속이온과 선택적으로 착물을 형성한다.¹

제 1 전이 금속이온과는 효과적인 착물 형성 능력 때문에 분석 및 생물학적 반응 연구의 모델에 다양하게 이용되고있다.^{2,3} 산소와 질소를 함께 포함하고 있는 macrocyclic azacrown은 양이온과의 결합력이 뛰어나며 특히 알카리 및 알카리토 금속이온에 대하여 높은 선택성을 보인다.^{4,5} 이 화합물들의 착물 형성 능력은 동공의 크기, 입체적인 효과, 질소에 연결된 치환기의 성질 등에 따른다.⁶ 치환기의 성질 중에는 염기도와 전자론적 효과가 중요하다.^{6,8} 이와 같이 산소 대신에 치환된 주계 원자의 종류에 따라 macrocyclic crown 화합물은 전이 금속을 비롯한 여러 금속이온과의 결합 및 결정 구조가 다양하게 나타난다.^{9,10} 본 연구진에서도 여러 종류의 azacrown 화합물을 합성하여 금속이온의 착물 형성에 관한 연구를 보고한바 있다. 즉 azacrown의 질소에 몇 가지 alkanolic acid를 부가시켜 전자 주개 효과를 살펴보았다.¹¹⁻¹⁵ 이때 전자 주는 기가 치환된 경우 착물 형성 상수는 커졌다. 또한 tetra-azacrown과 Cu(II) 이온의 결정 구조에서 이 구조는 단결정계로 평면 사각 구조였다.¹⁶ 한편 merrifield peptide resin과의 반응에서 얻은 polymer를 이용하여

알카리 및 알카리토금속이온을 검출하였다.^{15,17,18} 이상의 연구를 토대로하여 본 연구에서는 몇 가지 macrocyclic azacrown에 acrylonitrile을 반응시켜 N-cyanoalkylcycloazacrown을 합성하여 전이 금속이온과의 착물 형성에 대한 형성 상수를 조사하였다. 형성 상수의 계산은 azacrown과 전이 금속이온이 착물을 형성하였을 때 나타나는 흡광도의 변화 값을 이용하여 $(A_{\infty}-A_0)/(A_0-A_0)=1/K_f \cdot 1/[C]+1$ 로부터 계산하였다.^{19,20} 실험은 25 °C에서 실시하였다. 여기서 A_0 는 초기 흡광도, A_{∞} 는 리간드의 농도 변화에 따른 흡광도의 변화, A_0 는 무한시간에서의 흡광도의 변화이다. 또 $[C]$ 는 리간드의 농도, K_f 는 결합 형성 상수이다. 식으로부터 농도 변화에 따른 흡광도의 변화를 plot하여 기울기인 형성 상수(K_f)를 계산하였다.



실 험

착물 형성 실험에 이용된 azacrown은 1-oxa-4,7, 10,

13-tetra(2-cyanoethyl)-4,7,10,13-tetra-azacyclopentadecane(N_4O -OTTP; **1**)와 1,16-dioxa-4,7,10,13-tetra(2-cyanoethyl)-4,7,10,13-tetraazacyclooctadecane(N_4O_2 -DTTO; **2**), 1,13,16-trioxa-4,7,10-tri(2-cyanoethyl)-4,7,10-triazacyclooctadecane(N_3O_3 -TTTO; **3**)이었다. 여기서 화합물 **1**은 1-oxa-4,7,10,13-tetraazacyclopentadecane tetrahydrobromide($N_4O \cdot 4HBr$), 화합물 **2**는 1,16-dioxa-4,7,10,13-tetraazacyclooctadecane tetrahydrobromide($N_4O_2 \cdot 4HBr$), 화합물 **3**은 1,13,16-trioxa-4,7,10-triazacyclooctadecane trihydrobromide($N_3O_3 \cdot 3HBr$)로부터 합성하였다. $N_4O \cdot 4HBr$ 과 $N_4O_2 \cdot 4HBr$ 은 김^{13,21} 등으로부터, $N_3O_3 \cdot 3HBr$ 는 합성하여 사용하였다. 전이 금속이온은 Fe(II), Fe(III), Co(II), Ni(II) 및 Cu(II)로서 모두 perchlorate 화합물을 사용하였다. 실험에 사용한 시약은 Aldrich, Hayman 및 순정화학(II)사 제품으로서 정제하지 않고 사용하였다. 합성한 화합물은 DPX-300 FT-NMR과 IR(Hitachi 10 IR Spectrometer) 및 원소분석(CE Instruments EA 1110)을 통하여 구조를 확인하였다. 흡광도의 변화는 Milton-Roy Spectronic 3000 UV를 통하여 조사하였다. 각 금속이온의 농도는 $1 \times 10^{-3} M$ 이었고 리간드의 농도는 1, 2.5, 3.5, 4.5, $5.5 \times 10^{-5} M$ 이었다. 또한 λ_{max} 는 210-270 nm 영역에서 각각 나타났으므로 이 영역에서 흡광도를 측정하였다. 용매는 각각 DMF와 DMSO로서 ϵ 값은 36.71과 46.68 이었다.

화합물 1, N_4O -OTTP의 합성. $N_4O \cdot 4HBr$ 0.54 g (1 mmol)을 무수 에탄올 10 mL에 넣고 KOH 0.284 g(5 mmol)을 가한다. 상온에서 2시간 교반한 후 여과하여 KBr을 제거하고 용매를 진공 증류시키면 겔 상태의 N_4O 를 얻는다. 이 화합물을 $CHCl_3$ 15 mL에 용해한다. 이 용액에 acrylonitrile 0.35 g($d=0.8$, 8 mmol)을 가하고 58-60 °C에서 24시간 교반한다. 교반이 끝난 후 rotary evap.로서 용매와 과량으로 들어간 acrylonitrile을 제거하면 0.42 g(수율 98%)의 겔 상태의 화합물 **1**을 얻는다. 1H NMR($CDCl_3$, δ): 4.05(t, 4H, O- CH_2CH_2 -N) 3.65(t, 4H, O- CH_2CH_2 -N), 3.18(t, 4H, N- CH_2CH_2 -N), 3.02(t, 4H, N- CH_2CH_2 -N), 2.62(t, 4H, N- CH_2CH_2 -CN), ^{13}C NMR($CDCl_3$, δ): 16.23, 49.28, 49.79, 52.16, 52.35, 68.59, 118.52. IR($NaCl$, cm^{-1}): 762, 1240, 1395, 1582, 2198, 3250. $C_{22}H_{30}N_4O$ 의 원소분석(%): 이론(실험), C 61.68(61.89), H 8.41(8.74), N 26.17(26.53).

화합물 2, N_4O_2 -DTTO의 합성. $N_4O_2 \cdot 4HBr$ 0.584 g(1 mmol)을 무수 에탄올 10 mL에 넣는다. 이 혼합물에 KOH 0.284 g(5 mmol)을 가하고 상온에서 2시간 교반한다. 교반이 끝나면 여과하여 KBr을 제거하고 에탄올은 진공 증류하여 제거한다. 겔 상태의 N_4O_2 를 얻는다. 이 화합물을 $CHCl_3$ 15 mL에 용해한 후 acrylonitrile 0.35 g($d=0.8$, 8 mmol)을 가한다. 58-60 °C에서 24시간 교반 한 후 rotary evap.로서 용매와 과량의 acrylonitrile을 제거하면 황색의 겔 상태인 N_4O_2 -DTTO 0.46 g(수율 97%)을 얻는다. 1H NMR($CDCl_3$, δ): 3.92(t, 2H, O- CH_2CH_2 -O), 3.62(t, 4H, O- CH_2CH_2 -N), 3.02(t, 4H, N- CH_2CH_2 -N), 2.68(t, 4H, N- CH_2CH_2 -CN), 2.45(t, 4H, N- CH_2CH_2 -CN). ^{13}C NMR($CDCl_3$, δ): 16.12, 49.81, 52.48, 53.49, 69.62, 69.75, 118.28. IR($NaCl$, cm^{-1}): 780, 1255, 1400, 1610, 2210, 3300. $C_{24}H_{40}N_4O_2$ 의 원소분석(%): 이론(실험), C 61.02(61.47), H 8.47(8.76), N 23.73(24.05).

$N_3O_3 \cdot 3HBr$ 의 합성. 합성은 문헌⁷을 참고로 하였다. 즉 3구 flask에 H_2O 10 mL와 diethyltriamine 2.06 g(0.02 mol)을 넣고 교반하면서 tosyl chloride 11.5 g(0.06 mol)과 H_2O 60 mL, ether 80 mL를 서서히 가한다. 모두 가하고 상온에서 6시간 교반 한 후 진한 염산으로 산성화하면 백색 침전물이 생성된다. 여과하고 건조하면 diethylene-1,4,7-tritosyl-1,4,7-triamine (DTT)을 얻는다. 3구 flask에 DTT 4.53 g(8 mmol)과 NaH 0.576 g(24 mmol)을 넣고 무수 DMF 80 mL를 가한다. 상온에서 2시간 교반한 후, 무수 DMF 60 mL에 녹인 1,13-ditosyl-tetraethyleneglycol 4.02 g(8 mmol)을 서서히 가한다. 모두 가하고 83-85 °C에서 24시간 교반 한 후 냉각한다. 용매를 제거하여 약 20 mL가 되도록 농축하고 얼음물 30 mL를 가한다. 이 용액에 10N NaOH 35 mL를 넣고 60 °C에서 20분간 교반 한 후 여과한다. 여과물은 CH_2Cl_2 150 mL에 녹이고 2 M HCl, 포화 NaCl 수용액 등으로 처리한 후 CH_2Cl_2 층을 분리하여 무수 $MgSO_4$ 를 넣고 16시간 방치한다. 여과하여 용매를 제거하면 황색 고체인 1,13,16-trioxa-4,7,10-tritosyl-1,4,7,10-triazacyclooctadecane(TTT), 4.5 g(수율 78%)을 얻는다. 1H NMR($CDCl_3$, δ): 7.2-7.72, 3.36, 3.52, 3.10, 2.38. ^{13}C NMR($CDCl_3$, δ): 20.52, 49.61, 69.42, 126.14, 128.95, 135.67, 142.38, 143.08. IR(KBr, cm^{-1}): 3310, 1590, 1230, 1180. $C_{33}H_{45}O_9N_3S_3$ 의 원소분석(%): 이론(실험),

C 54.75(55.06), H 6.27(6.55), N 5.80(6.22).

2구 flask에 TTT 5.6 g(7.7 mmol)을 넣고 45%(in AcOH) HBr 50 mL와 phenol 2.25 g(24 mmol)을 가한 뒤 90-92 °C에서 48 시간 교반한다. 냉각한 후 여과하고 ether, 무수 알코올로 씻으면 백색의 1,13,16-trioxa-4,7,10-triazacyclooctadecane trihydrobromide ($N_3O_3 \cdot 3HBr$) 3 g(수율 77%)을 얻는다. 1H NMR($CDCl_3$, δ): 3.87(t, 4H, O- CH_2CH_2 -O), 3.65(t, 4H, O- CH_2CH_2 -N), 3.42(t, 4H, O- CH_2CH_2 -N), 3.11(t, 4H, N- CH_2CH_2 -N), 2.76.(t, 4H, N- CH_2CH_2 -N). ^{13}C NMR($CDCl_3$, δ): 49.68, 52.58, 65.41, 71.12. IR(KBr, cm^{-1}): 3350, 2580, 1324, 1160. $C_{12}H_{30}Br_3N_3O_3$ 의 원소분석(%): 이론(실험), C 28.59(29.11), H 5.99(6.13), N 8.34(8.66).

화합물 3, N_3O_3 -TTTO의 합성. $N_3O_3 \cdot 3HBr$ 0.605 g(1.2 mmol)과 0.284 g(5 mmol)의 KOH를 무수 에탄올 10 mL에 넣고 상온에서 2시간 교반한다. 여과하여 KBr을 제거하고 용매를 제거하면 무색의 겔 상태인 N_3O_3 를 얻는다. 이 화합물을 $CHCl_3$ 15 mL에 용해하고 acrylonitrile 0.35 g($d=0.8$, 8 mmol)을 가한 뒤 58-60 °C에서 24시간 교반한다. 교반이 끝난 후 rotary evap.로서 용매와 과량의 acrylonitrile을 제거하면 황색의 겔 상태인 N_3O_3 -TTTO 0.41 g(수득율 98%)을 얻는다. 1H NMR($CDCl_3$, δ): 3.84(t, 4H, O- CH_2CH_2 -O), 3.72(t, 4H, O- CH_2CH_2 -N), 3.48(t, 4H, O- CH_2CH_2 -N), 2.62(m, 6H, N- CH_2CH_2 -CN), 2.43(m, 6H, N- CH_2CH_2 -CN). ^{13}C NMR($CDCl_3$, δ): 16.32, 48.82, 52.17, 52.91, 118.35. IR(NaCl, cm^{-1}): 3280, 2200, 1590, 1400, 1250, 1100, 750. $C_{31}H_{36}N_6O_3$ 의 원소분석(%): 이론(실험), C 60.0(60.32), H 8.57(8.85), N 20.0(20.33).

결과 및 고찰

Azacrown 화합물의 질소에 cyanoethyl 기를 부가하기 위하여 사용한 $N_4O \cdot 4HBr$ 과 $N_5O_2 \cdot 4HBr$ 은 본 연구진이 합성하여 이미 보고^{1,2,3}한 바 있으므로 그 화합물을 그대로 사용하였다. 이 화합물로부터 합성한 N_4O -OTTP와 N_5O_2 -OTTP의 합성은 높은 수율로 얻을 수 있었을 뿐 아니라 합성 방법도 간단하였다. Cyanoethylation은 염기성에서 촉진되지만 본 연구 조건에서도 높은 수율로 합성되었다. 이것은 acrylonitrile

이 좋은 친핵체로서 π 전자가 질소 핵을 간단히 공격할 수 있기 때문이었다. 즉 azacrown의 질소에 있는 비공유 전자쌍이 유사 Michael 반응²² 형태를 취할 수 있기 때문인 것으로 생각된다. 한편 N_3O_3 -TTTO를 합성하기 위하여 $N_3O_3 \cdot 3HBr$ 을 합성하였는데 비교적 높은 수율로 얻을 수 있었다. 이 화합물은 TTT(N_3O_3 -tritosyl)로부터 얻었는데 TTT는 오래 전²³에 합성되어진 물질이다. Detosylation은 아세트산에 녹인 45% HBr과 phenol의 혼합 용액을 이용하였는데 높은 수율로 생성물을 얻었다. 이 화합물로부터 합성한 N_3O_3 -TTTO도 acrylonitrile의 친핵성 때문에 높은 수율을 보였다. 합성 물질들의 IR spectrum을 보면 -CN 기의 stretching vibration이 화합물 1, 2, 3에서 각각 2198, 2210, 2200 cm^{-1} 에서 나타났다. 일반적으로 -CN의 stretching vibration은 2200 cm^{-1} 부근에서 나타나는데 본 합성물도 이 영역에서 나타남을 볼 수 있었다. 또한 ^{13}C NMR에서 -CN의 δ 는 각각 118.52, 118.28, 118.35에서 강하게 나타났다. 이 값은 일반적인 alkyl cyanide에서 볼 수 있는 영역에서 약간 shift 된 값이었다. 따라서 cyanoethylation 반응이 일어났음을 확인할 수 있었다.

Table 1에 합성된 화합물 1, 2, 3과 몇 가지 전이 금속이온과의 착물 형성에서 형성 상수 값을 나타내었다.

Table에서 이온의 크기가 커질수록 형성상수가 증가하였다. 이것은 azacrown의 동공은 일정한데 이온의 크기가 커지면 주계 전자와 더 큰 상호 작용을 할 수 있기 때문이다. 그러나 Fe^{2+} 보다 Fe^{3+} 가 큰 형성 상수 값을 가지는 것은 양전하의 큰 인력 때문으로 생각된다. 또한 N_3 와 N_4 에서 N_5 화합물의 K_f 값이 더 큰 경향을 보이는 것은 N와 같은 주계 원자의 수가 증가하면 금속이온에 대한 전자 주계 효과가 커지기 때문이다. 한편 용매의 종류에 대한 K_f 값에서 DMF

Table 1. Formation constants for metal complexes of macrocyclic azacrown ligands with transition metal ions.

	N_4O -OTTP		N_5O_2 -DTTO		N_3O_3 -TTTO	
	DMF	DMSO	DMF	DMSO	DMF	DMSO
Fe^{2+}	1.94	1.47	1.12	0.80	1.55	0.47
Fe^{3+}	1.97	1.74	1.75	0.82	1.90	1.01
Co^{2+}	2.37	1.94	3.72	3.50	3.27	3.22
Ni^{2+}	6.19	4.39	6.13	4.95	6.25	4.00
Cu^{2+}	8.44	8.86	5.88	5.56	7.69	8.30

(ϵ , 36.71)가 DMSO(ϵ , 46.68) 보다 더 큰 K_f 값을 가짐을 보였다. 이 것은 ϵ 값이 클수록 금속이온과 용매 사이에 상호 작용이 커져서 azacrown과 금속이온 간의 착물 형성은 경쟁 관계로 나타나기 때문이다. 한편 cyanoethyl이 치환된 azacrown은 치환되지 않은 azacrown^{7,11-13}에 비하여 작은 형성 상수 값을 보였는데 이것은 cyano 기가 강한 전자 끄는 기로서 azacrown의 동공에 전자밀도를 감소시키기 때문으로 생각된다. 또한 모든 전이 금속이온의 결합 형성 상수 값은 Irving-Williams 계열²⁴에 들어맞았다.

본 연구는 한국 학술진흥재단의 지원에 의하여 수행되었으며 이에 감사드립니다. Project NO. BSRI-98-3435.

인 용 문 헌

- Greene, R. N. *Tetrahedron Lett.* **1972**, 18, 1793.
- Delgado, D.; Frasto da Silva, J. J. R. *Talanta* **1982**, 29, 815.
- Kumar, K.; Tweedle, M. F. *Inorg. Chem.* **1993**, 32, 4193.
- Chen, D.; Squattrito, P. J.; Martell, A. E.; Clearfield, A. *Inorg. Chem.* **1990**, 29, 4366.
- Sun, Y.; Martell, A. E.; Welch, M. J. *Tetrahedron* **1991**, 47, 8863.
- Hancock, R. D.; Martell, A. E. *Chem. Rev.* **1989**, 89, 1875.
- Kim, C. S.; Kim, D. W.; Chung, Y. S.; Choi, K. Y.; Lee, Y. I.; Hong, C. P. *J. Korean Chem. Soc.* **1998**, 42, 458.
- Hong, C. P.; Kim, D. W.; Choi, K. Y.; Kim, C. S.; Choi, Y. G. *Bull. Korean Chem. Soc.* **1999**, 20, 297.
- Morrow, J. R.; Amin, S.; Lake, C. H.; Churchill, M. R. *Inorg. Chem.* **1993**, 32, 4566.
- Delgado, D.; Sun, Y.; Motekaitis, R. J.; Martell, A. E. *Inorg. Chem.* **1993**, 32, 3320.
- Choi, K. Y.; Kang, S. H.; Kim, D. W.; Chung, Y. S.; Kim, C. S.; Hong, C. P.; Lee, Y. I. *Supramol. Chem.* **1996**, 7, 27.
- Choi, K. Y.; Kim, D. W.; Kim, C. S.; Hong, C. P.; Ryu, H. I.; Lee, Y. I. *Talanta* **1997**, 44, 527.
- Choi, K. Y.; Kim, D. W.; Chung, Y. S.; Kim, C. S.; Hong, C. P.; Lee, Y. I. *Bull. Korean Chem. Soc.* **1998**, 19, 671.
- Chung, Y. S.; Kim, B. J.; Hwang, J. Y.; Kim, C. S. *Microchem. J.* **1999**, 62, 336.
- Kim, D. W.; Kim, C. S.; Jeon, J. S.; Kim, J. S.; Lee, N. S. *J. Radioanal. Nuc. Chem.* **1999**, 241, 379.
- Choi, K. Y.; Kim, C. S.; Suh, I. H. *Kor. J. Crystal.* **1998**, 9, 11.
- Kim, D. W.; Lee, N. S.; Jeong, Y. K.; Ryu, H. I.; Kim, C. S.; Kim, B. G. *Anal. Sci. Tech.* **1998**, 11, 231.
- Kim, D. W.; Kim, C. S.; Choi, K. Y.; Jeon, Y. S.; Yoon, Y. H. *J. Korean Chem. Soc.* **1993**, 37, 820.
- Cramer, F.; Saenger, W.; Spatz, H. Ch. *J. Am. Chem. Soc.* **1967**, 89, 14.
- Choi, H. S.; Chung, K. S.; Kim, H. T. *J. Korean Chem. Soc.* **1997**, 41, 57.
- Kim, C. S.; Kim, D. W.; Chung, Y. S.; Choi, K. Y.; Lee, Y. I.; Hong, C. P. *J. Korean Chem. Soc.* **1997**, 41, 166.
- Sykes, P. *Mechanism in Organic Chemistry*, 6th. Ed.; Longman Sci. & Tech: 1996; p 199.
- Rahofer, W.; Wehner, W.; V gtle, F. *Ann. Chem.* **1976**, 916.
- Irving, H. S.; Williams, R. J. P. *J. Chem. Soc.* **1953**, 3192.